

九州共立大学工学部 正会員 加賀美一三
" " " 学生会員 新井真二郎

1. 緒言 鉄筋コンクリート部材に対して、設計上の力学的安定と経済的施工が課題され、内外とも数々種々の設計法が考案され各々の研究基礎にとづいた設計法を採用している國と弹性設計法と併用している米國などがあり、本邦においては柱部材の一部のみに用いており、在土木学会において長期に亘り検討議論中である。Bernoulli の弾性理論式ははりの破壊条件を考慮した荷重荷歟過全般に亘り、力学的安定上不十分の点があり且經濟的にも不利な点もある。著者の一人は鉄筋コンクリート部材の合理的な設計法として、Bernoulli の平面保持の法則にとづいて弾性係数または塑性係数による既往の設計法と、部材応力を Modified stress-strain Diagram として近似解法を好んで用いることを指摘し、多くの実験より考案した荷重軸とあわる应力分布形状を定め、特にはり破壊時の应力一ひずみ曲線はほぼ5次放物線であることを結論し、これにもとづいて終局強度を設計式を算出する。本報告は以上の基礎考案にもとづいての複数筋コンクリート長方形ボリの強度と設計法について述べる所である。

2. 複数筋コンクリートボリの応力図

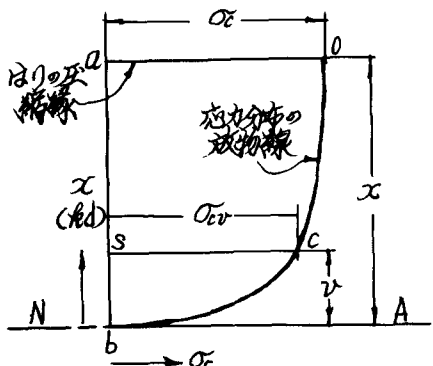


図-1 終局強度と設計法に用いる圧縮帶エンクソートの応力分布形

が圧縮帶より応力分布形の圓心までの一距離 r は 0.834 および 0.454 となる。

3. 複数筋コンクリート長方形ボリの破壊曲げモーメント式と設計法

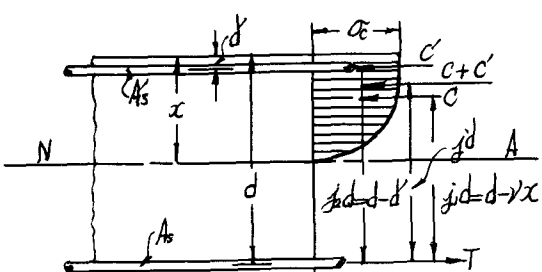


図-2 複数筋コンクリート長方形ボリの応力関係

$$jed = C' \times A_s \text{ との面積} = d - j = (1 - \rho)d, jid = (C_p + C'_p)d / (C + C'), T_i = \sigma_i \cdot p_i \cdot d, C = \mu \sigma_i \cdot p_i \cdot b \cdot d,$$

- 295 -

著者の一人が発表している応力分布形は図-1 のごとくであり、これが著者の前提は中央軸上のひずみを零とするととき

$$\sigma_x^n = \sigma_0, \sigma_0 = \frac{\sigma}{\text{横幅}} \quad (1) \quad \text{いま、放物線の面積を } F \text{ とする}$$

$F = \int_0^x (\sigma_0)^n dx, F = Mx \sigma_0, \mu = n/(n+1) \quad (2)$
中央軸より距離 x より放物線の頂点までの距離を ρ とすれば

$$\bar{x}F = \int_0^x (\sigma_0)^n x dx = \sigma_0 \cdot n / (2n+1) \cdot x^2$$

$$\bar{x} = (n+1) / (2n+1) \cdot x \quad (3), \text{したがって}$$

$$\bar{x} = \sigma_0 / (2n+1), x = \sqrt{\bar{x}}, \rho = n / (2n+1) \quad (4)$$

一般に鉄筋コンクリート部材においては、著者の多くの実験結果が示すように圧縮帶エンクソートの応力分布形は5次放物線となる。5次とするとときの応力分布面積係数 μ および

(1) 複数筋コンクリートボリの応力関係 この場合の応力関係は図-2 のごとくである。

A_s = 引張筋断面積, σ_s = その应力, A_c = 壓縮筋断面積, σ_c = その应力, $\rho = A_s / bd$ = 引張筋比, $\rho' = A_s / bd$ = 壓縮筋比, $\mu = 1 - \rho$ = コンクリートの压縮应力と約合う引張筋比, $M_c = c$ の場合の抵抗モーメント, $P_c = 壓縮筋の压縮应力と約合う引張筋比$, $M_b = c$ の場合の抵抗モーメントとするとときは

$$jed = C \times A_s \text{ との面積} = j - j = (1 - \rho)d, x = jd,$$

$$jed = (C_p + C'_p)d / (C + C'), T_i = \sigma_i \cdot p_i \cdot d, C = \mu \sigma_i \cdot p_i \cdot b \cdot d,$$

$$\begin{aligned}
T_x &= \sigma_s p_2 b d, C' = \sigma_s' A'_s, T_x + T_x' = C + C', M_{xc} = C' j id = \mu \sigma_s R (1 - \nu R) b d^2, M_{xs} = T_x j id = \sigma_s p_1 (1 - \nu R) b d^2, \\
M_{xc} &= C' j id = \sigma_s p' (1 - \delta/d) b d^2, M_{xs} = T_x j id = \sigma_s A (1 - \delta/d) d, \text{ ただし } \delta \neq 0 \\
M_b &= (C + C') j id = C j id + C' j id = \mu \sigma_s R (1 - \nu R) b d^2 + \sigma_s p' (1 - \delta/d) b d^2 \quad (5) \\
M_b &= T_x j id = T_x j id + T_x j id = \sigma_s p_1 (1 - \nu R) b d^2 + \sigma_s p_2 (1 - \delta/d) b d^2 \\
&\text{左端部に } p_1 + p_2 = p, p_1 = p - p_2, T_x = C' + \sigma_s p_2 b d = \sigma_s p' b d, p = (\sigma_s / \sigma_s') p', M_b = \\
&\sigma_s (p - p') (1 - \nu R) b d^2 + \sigma_s p_2 (1 - \delta/d) b d^2 \text{ となり} \\
M_b &= \sigma_s p (1 - \nu R) b d^2 - \sigma_s p' (1 - \nu R) b d^2 + \sigma_s p' (1 - \delta/d) b d^2 \quad (6) \\
\text{中立軸位置係数, すなは} & C + C' = T \text{ の関係より, } \mu \sigma_s R b d + \sigma_s p' b d = \sigma_s p b d \text{ となり} \\
&k = (\sigma_s p - \sigma_s p') / \mu \sigma_s \quad (7)
\end{aligned}$$

(2) 破壊曲げモーメント 積層筋コンクリートばかりの場合も、力学的安定と経済的有利面にあるためには、単筋筋コンクリート部材の各構成材料が破壊荷重における平衝撃荷重比に達することが理論的に必要条件であるとの同様、はり圧縮側においててはねばくに、引張側においててはねばくに達することとしてあるので、(5), (6), (7)式は (8), (9), (10)式として成立する場合である。

$$(5) \text{ では, } M_u = \{ \mu \sigma_s R k (1 - \nu R) + \sigma_s p' (1 - \delta/d) \} b d^2 \quad (8)$$

(6) では、一般に $\sigma_s \neq \sigma_s'$ とみなして差支えないもの

$$M_u = \{ (p - p') (1 - \nu R) + p' (1 - \delta/d) \} \sigma_s b d^2 \quad (9)$$

$$(7) \text{ では, } k = \sigma_s (p - p') / \mu \sigma_s \quad (10)$$

(3) 著者の実験の一節の結果 表示において、 M_u は実験による破壊曲げモーメント値、 M_f は設計による算定値、 M_p は弹性理論式で $M_p = q_n p (1 - R) b d R f_{cu} / R$ によって計算値とする。

供試体番号	柱断面	σ_s (kg/cm ²)	$p, \%$	$p', \%$	δ/d	R	M_u	M_u / K_{con}	M_u	M_u / K_{con}	M_u / M_p	M_f	M_u / M_f
							Kon	Kan	Kan	Kon			
1	224	13520	1.78	1.67	0.811	0.32	132000	104600	112	119600	1.02		
2	224	3520	2.85	1.22	0.336	0.314	130000	126000	1.03	97500	1.33		
3	224	3520	3.80	1.26	0.377	0.481	139000	150000	0.930	168000	1.28		
4	232	3520	1.78	1.07	0.285	0.228	119000	111000	1.07	122000	0.972		
5	232	3520	2.93	1.26	0.292	0.304	147000	132000	1.17	99800	1.30		
6	232	3520	3.70	1.23	0.354	0.444	157000	156000	1.01	165000	1.50		
7	261	3520	1.45	1.17	0.275	0.160	107000	95700	1.09	93900	1.14		
8	261	3520	2.90	1.24	0.292	0.341	119000	126000	0.944	98100	1.24		
9	261	3520	4.19	1.40	0.308	0.570	125000	132000	0.948	119400	1.61		
10	258	3520	1.88	1.13	0.230	0.123	108000	85500	1.26	134000	0.802		
11	258	3520	2.82	1.22	0.307	0.247	118000	125000	0.944	122000	0.917		
12	258	3520	4.07	1.35	0.350	0.444	112000	154100	0.798	124000	0.855		

(4) 積層筋コンクリート長方形ばかりの設計式

積層筋コンクリートばかりにおいては、単筋筋長方形ばかりの場合の力学的、経済的最小値であるよりの有効性を、 d の選定を含む3場合にて、 d_{min} と A_s とが与えられるのが一般的であるから、コンクリートに付加、引張筋筋には σ_s を生ずる場合の p と p' が与えられる。Sを安全率とすると、(8), (9)式より(11), (12)式の設計式が得られる。

$$SM_u / b d^2 = \mu \sigma_s R (1 - \nu R) + \sigma_s p' (1 - \delta/d)$$

$$\therefore p' \equiv \{ SM_u / b d^2 - \mu \sigma_s R (1 - \nu R) \} / \sigma_s (1 - \delta/d) \quad (11)$$

$$SM_u / \sigma_s b d^2 = (p - p') (1 - \nu R) + p' (1 - \delta/d)$$

$$p' \equiv \{ p (1 - \nu R) - SM_u / \sigma_s b d^2 \} / \{ (1 - \nu R) - (1 - \delta/d) \} \quad (12)$$

(11), (12)式のうち、(12)式の計算には p' を p'_d として計算し、 $p' \equiv p'_d$ とすれば設計式がとなる。